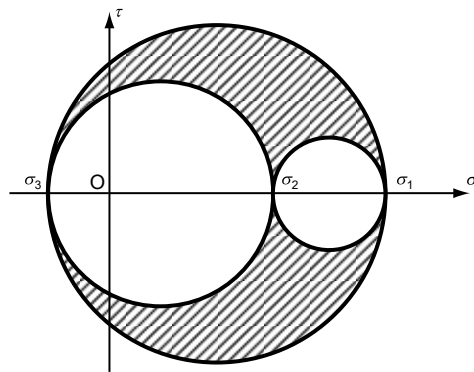


Mécanique des structures

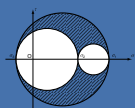


Chapitre 0 : Introduction

Dr. Alain Prenleloup
SGM BA3

EPFL





Chapitre 0 : Introduction

Problème 0.1

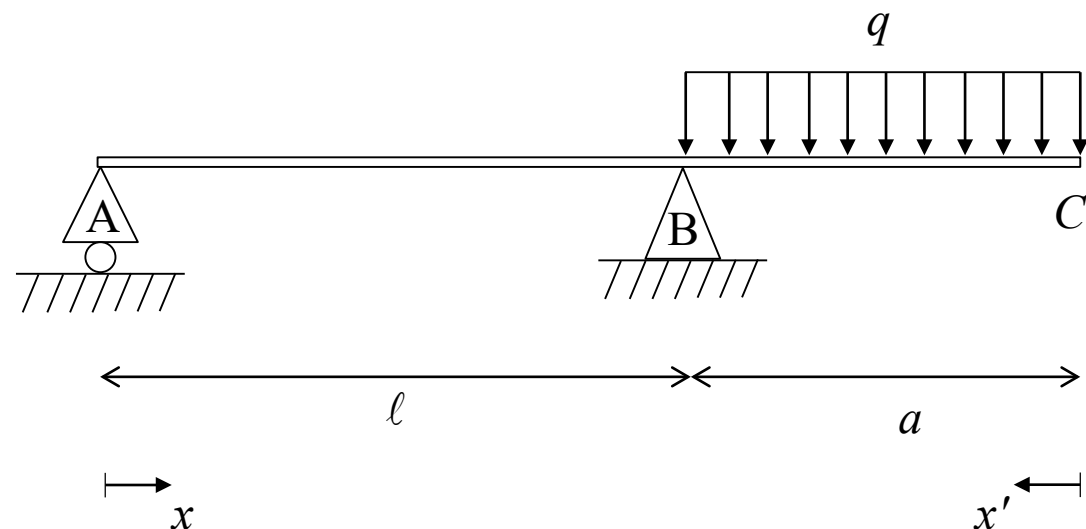
Calculer les réactions aux appuis de la poutre schématisée ci-contre, puis dessiner les diagrammes T et M des efforts intérieurs.

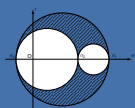
Application :

$$a = 1 \text{ m}$$

$$\ell = 2 \text{ m}$$

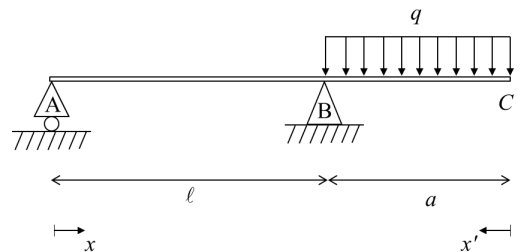
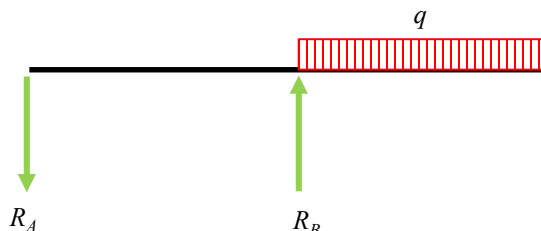
$$q = 5 \text{ kN / m}$$





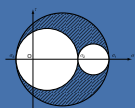
Problème 0.1

Schéma

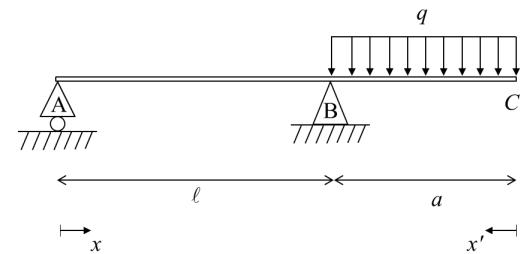
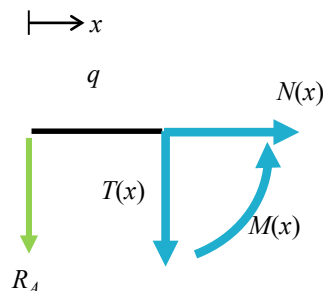


Equilibre des forces et des moments

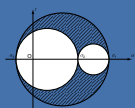
- ΣF $R_B = q a + R_A$
- ΣM_B $R_A \ell = \int_0^a q x dx = \frac{q a^2}{2}$
- $\rightarrow R_A = \frac{q a^2}{2\ell} = 1250 \text{ N}$
- $\rightarrow R_B = q a + R_A = 6250 \text{ N}$



Efforts intérieurs tronçon AB

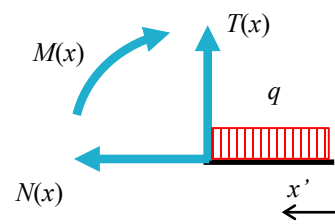


- $N(x) = 0$
- $T(x) = -R_A = -1250 \text{ N}$
- $M(x) = -R_A x = -1250x \text{ Nm}$
- $M(x = \ell) = -R_A \ell = -2500 \text{ Nm}$



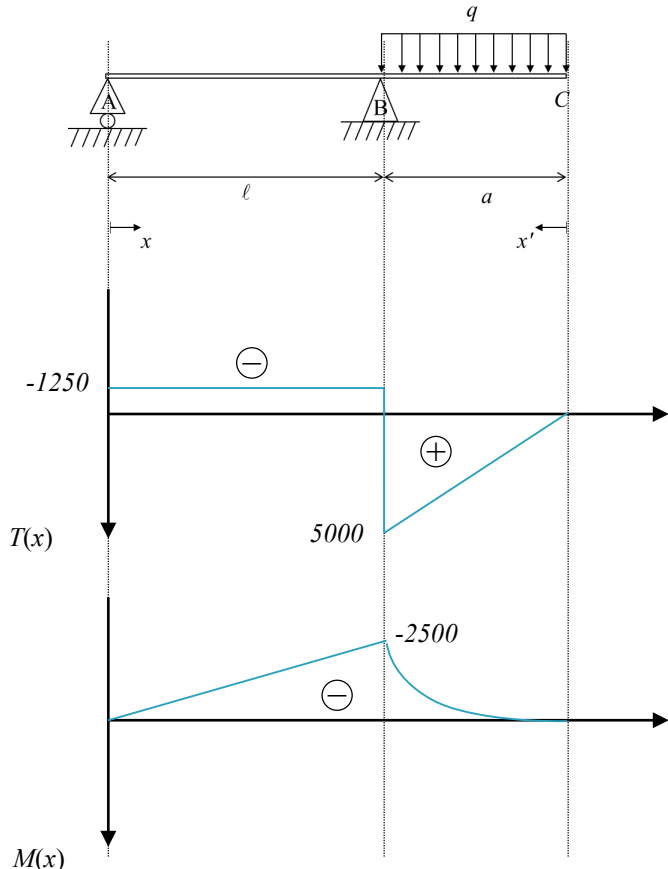
Problème 0.1

Efforts intérieurs tronçon AB



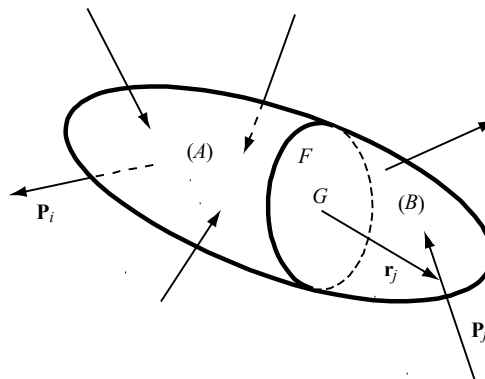
- $N(x') = 0$
- $T(x') = qx' = 5000x' \text{ N}$
- $M(x') = -\frac{1}{2}qx'^2 = -2500 x'^2 \text{ Nm}$

Diagrammes des efforts →



Merci pour vote attention

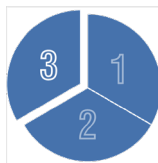
Mécanique des structures

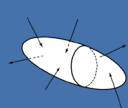


Chapitre 1 : Equilibre intérieur d'un solide

Dr. Alain Prenleloup
SGM BA3

EPFL





Chapitre 1 : Équilibre intérieur d'un solide

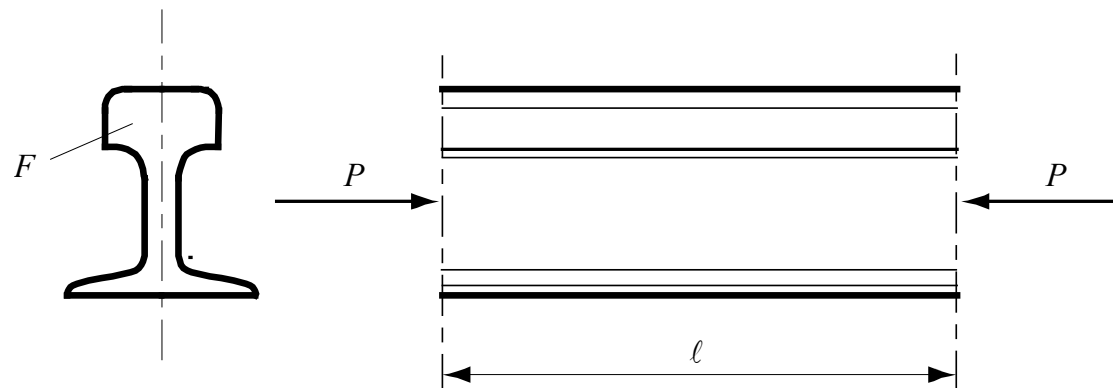
Problème 1.1

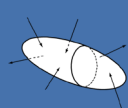
Calculer la contrainte et la force dans un long rail soudé soumis à un écart de température de $\Delta\theta = \pm 50 \text{ }^{\circ}\text{C}$

Section $F = 75 \text{ cm}^2$

Module $E = 2.1 \times 10^{11} \text{ Pa} = 210 \text{ GPa}$

Coeff. therm. $\alpha = 12 \times 10^{-6} /{}^{\circ}\text{C}$





Chapitre 1 : Équilibre intérieur d'un solide

Problème 1.1

Les allongements thermiques et mécaniques se compensent

- $\Delta\theta \alpha \ell + \frac{\sigma}{E} = 0$

On en tire la contrainte σ

- $\sigma = \Delta\theta \alpha E$

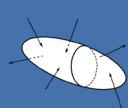
La loi de Hooke lie la contrainte et la force

- $P = F \sigma$

On trouve alors les valeurs numériques suivantes :

- $\Delta\theta = +50^\circ\text{C}$ $\sigma = -126 \text{ MPa}$ $P = -945 \text{ kN}$ (compression)

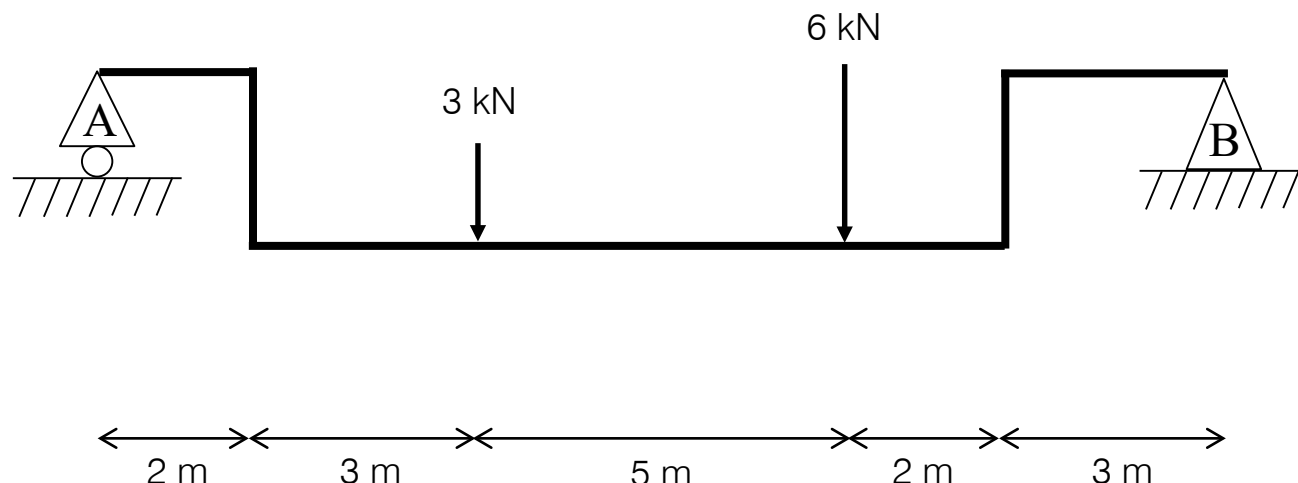
- $\Delta\theta = -50^\circ\text{C}$ $\sigma = +126 \text{ MPa}$ $P = +945 \text{ kN}$ (traction)

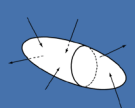


Chapitre 1 : Équilibre intérieur d'un solide

Problème 1.2

Calculer les réactions R_A et R_B pour le système ci-dessous, puis représenter les diagrammes des efforts intérieurs N (effort normal), T (effort tranchant), et M (moment fléchissant), en indiquant les valeurs particulières.

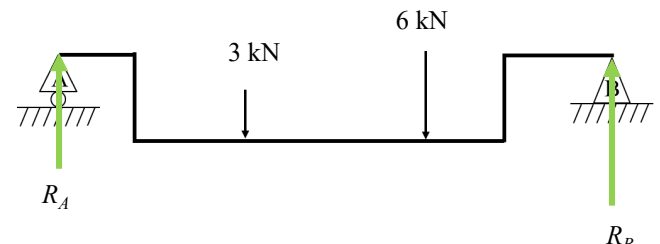




Chapitre 1 : Équilibre intérieur d'un solide

Problème 1.2

Schéma →



Équations d'équilibre

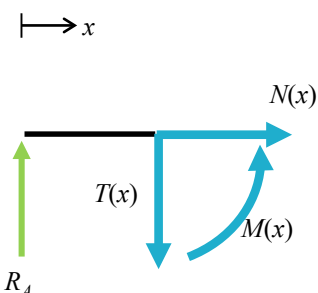
- $\Sigma M_A \quad 3kN \times 5m + 6kN \times 10m - R_B \times 15m = 0$

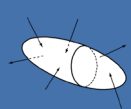
$$\rightarrow R_B = \frac{75}{15} = 5 \text{ kN}$$

- $\Sigma M_A \quad 6kN \times 5m + 3kN \times 10m - R_A \times 15m = 0$

$$\rightarrow R_A = \frac{60}{15} = 4 \text{ kN}$$

Efforts intérieurs





Chapitre 1 : Équilibre intérieur d'un solide

Problème 1.2

Tronçon AB

- $N(x) = 0$
- $T(x) = R_A = 4 \text{ kN}$
- $M(x) = R_A x = 4 x$

Tronçon BC

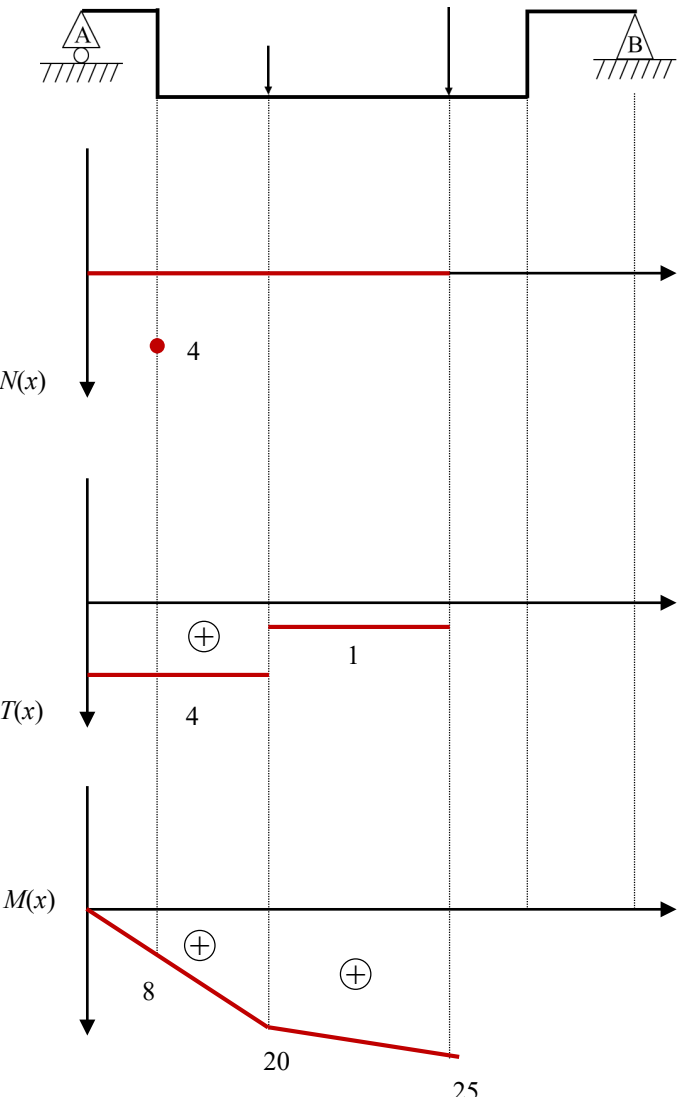
- $N(x) = R_A$
- $T(x) = 0$
- $M(x) = 2R_A = 8 \text{ kNm}$

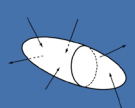
Tronçon CD

- $N(x) = 0$
- $T(x) = R_A = 4 \text{ kN}$
- $M(x) = R_A x = 4 x$

Tronçon DE

- $N(x) = 0$
- $T(x) = R_A - 3 = 1 \text{ kN}$
- $M(x) = R_A x - 3(x - 5)$





Chapitre 1 : Équilibre intérieur d'un solide

Problème 1.2

Tronçon EF

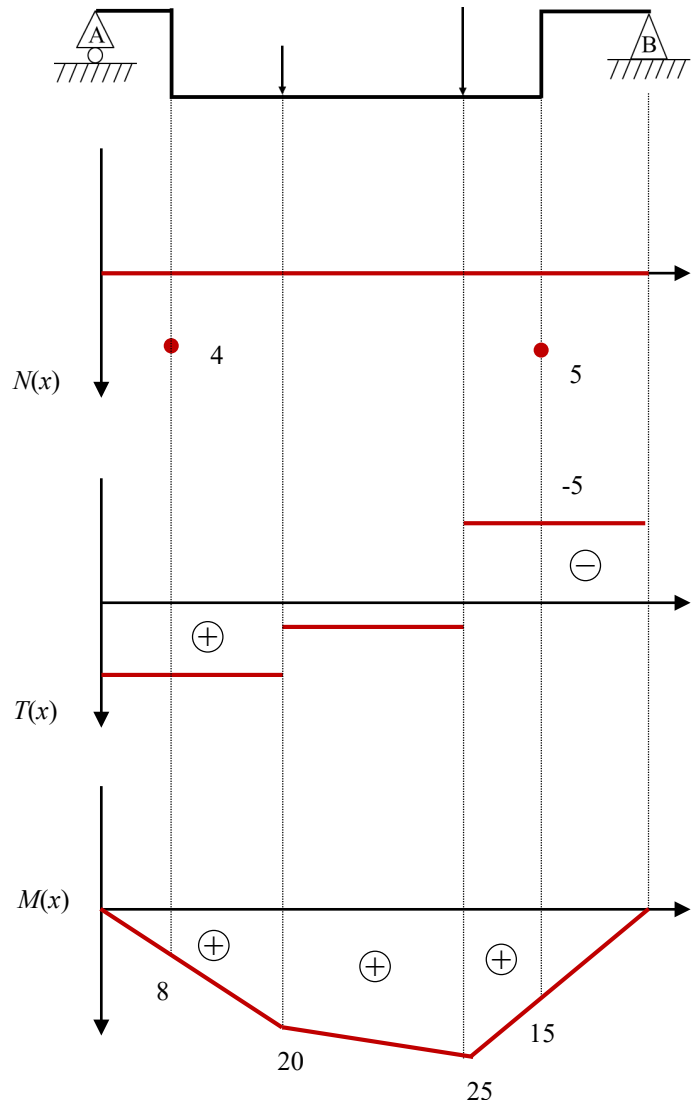
- $N(x) = 0$
- $T(x) = R_A - 5 - 6 = -5 \text{ kN}$
- $M(x) = R_A x - 3(x - 5) - 6(x - 10)$

Tronçon FG

- $N(x) = -R_A + 3 + 6 = 5 \text{ kN}$
- $T(x) = 0$
- $M(x) = 3R_B = -15 \text{ kNm}$

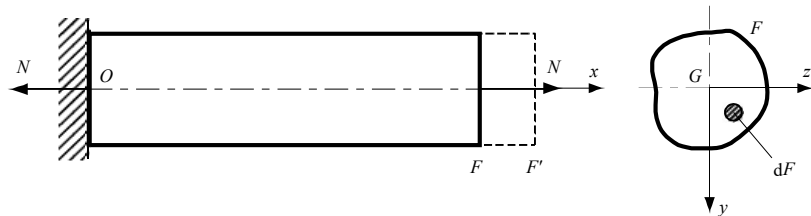
Tronçon GH

- $N(x) = 0$
- $T(x) = -R_B = 5 \text{ kN}$
- $M(x) = R_A x - 3(x - 5) - 6(x - 10) = R_B x'$



Merci pour vote attention

Mécanique des structures



Chapitre 2 : Traction ou compression simple

Dr. Alain Prenleloup
SGM BA3

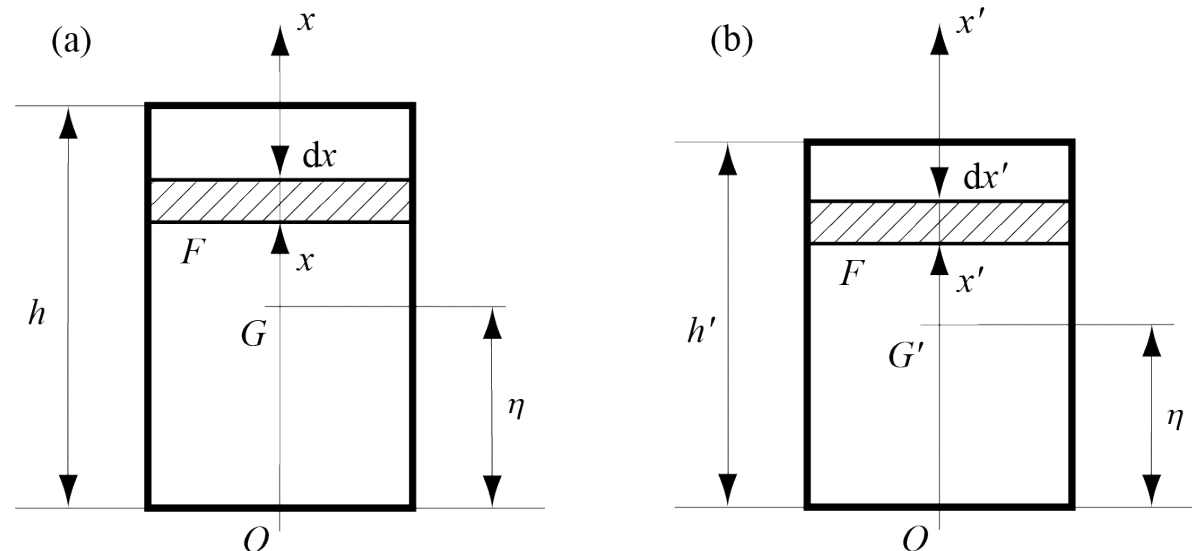
EPFL



Chapitre 2 : Traction ou compression simple

Problème 2.1 : influence du poids propre

En négligeant la dilatation latérale, déterminer le déplacement, sous l'effet de son propre poids, du centre de gravité d'une colonne cylindrique de hauteur h et de poids spécifique γ



Hauteur de la colonne $h = 5 \text{ m}$

Poids spécifique de l'acier $\gamma = 7,8 \cdot 10^4 \text{ N/m}^3$

Module d'élasticité de l'acier $E = 2,1 \cdot 10^{11} \text{ Pa}$



Chapitre 2 : Traction ou compression simple

Problème 2.1 : influence du poids propre

Après déformation, l'élément dx à hauteur x devient dx' à hauteur x'

- $dx' = dx \left(1 - \frac{\sigma}{E}\right) = dx \left(1 - \frac{\gamma(h-x)}{E}\right)$

- $x' = \int_0^x x \, dx' = x \left(1 - \frac{\gamma h}{2}\right) + \frac{\gamma x^2}{2E}$

Soit γ' le poids spécifique de l'élément dx' l'égalité des masses donne

- $F \gamma' dx' = F \gamma dx$

et, par conséquent, on peut écrire

- $\gamma' dx' = \gamma dx$

On détermine la hauteur η' du nouveau centre de gravité en calculant le moment statique S' par rapport à la base. Celui-ci est égal au produit de η' par la masse totale M

- $S' = \eta' M = \frac{1}{g} \gamma (\eta' h F) = \frac{1}{g} \gamma F \int_0^h \left[x \left(1 - \frac{\gamma h}{2}\right) + \frac{\gamma x^2}{2E}\right] dx$

où g symbolise l'accélération terrestre



Chapitre 2 : Traction ou compression simple

Problème 2.1 : influence du poids propre

En égalant ces deux expressions, on trouve

- $\eta' = \frac{h}{6E} (3E - 2\gamma E)$

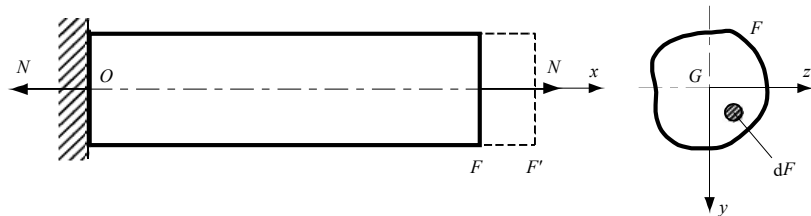
Le déplacement du centre de gravité est ainsi

- $\Delta\eta = \eta - \eta' = \frac{h}{2} - \eta' = \frac{\gamma h^2}{3E}$

Avec les données fournies, on obtient numériquement

- $\Delta\eta = 3,1 \cdot 10^{-6} m = 3.1 \mu m$

Mécanique des structures



Chapitre 2 : Traction ou compression simple

Dr. Alain Prenleloup
SGM BA3

EPFL



Chapitre 2 : Traction ou compression simple

Problème 2.4 : sertissage à chaud de bague acier-cuivre

Un anneau de cuivre est serti à chaud, sans jeu et sans serrage, sur un anneau d'acier de même largeur B . La température du cuivre est de $\Delta\theta$ plus élevée que celle de l'acier.

Calculer les contraintes dans l'acier et le cuivre, la pression entre les deux anneaux et le raccourcissement relatif de leur rayon commun après refroidissement du cuivre.

$$E_1 = 1,17 \cdot 10^{11} \text{ Pa}$$

$$E_2 = 2,1 \cdot 10^{11} \text{ Pa}$$

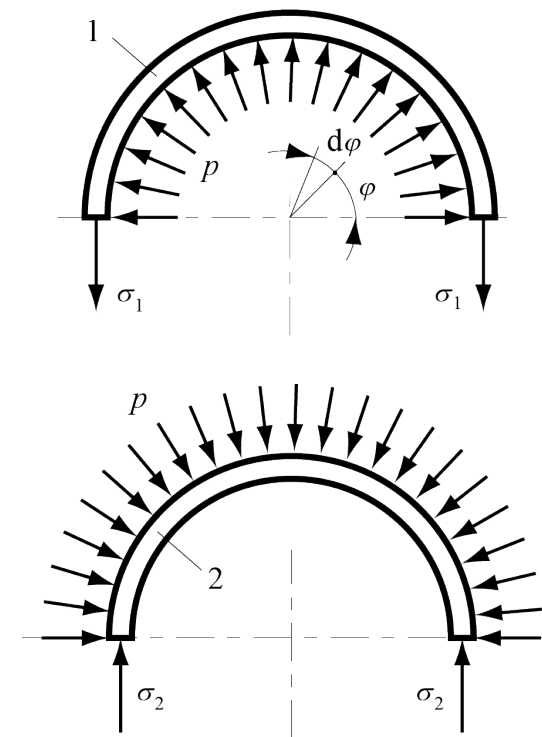
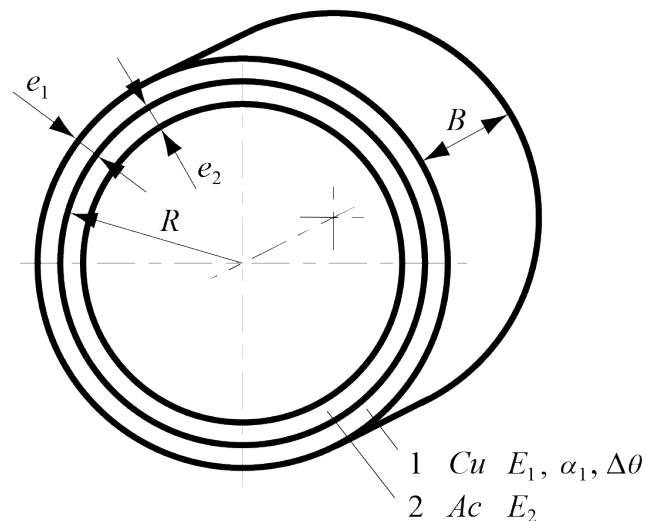
$$e_1 = 0,5 \text{ cm}$$

$$e_2 = 1 \text{ cm}$$

$$R = 10 \text{ cm}$$

$$\alpha_1 = 16,6 \cdot 10^{-6} / {}^\circ\text{C}$$

$$\Delta\theta = 200 \text{ } {}^\circ\text{C}$$





Chapitre 2 : Traction ou compression simple

Problème 2.4 : sertissage à chaud de bague acier-cuivre

Les anneaux étant minces, on peut confondre leurs rayons moyens avec R et admettre que les contraintes dans chacun d'eux sont constantes dans toute l'épaisseur.

La pression p de serrage provoque une contrainte σ_1 de traction dans le cuivre et une contrainte σ_2 de compression dans l'acier. On peut écrire deux conditions d'équilibre

- $2 e_1 B \sigma_1 = 2 \int_0^{\pi/2} \sin \varphi p dF = 2 p R B \int_0^{\pi/2} \sin \varphi p d\varphi = 2 p R B$
- $2 e_2 B \sigma_2 = 2 p R B$

qui lient trois grandeurs inconnues σ_1 , σ_2 et p , le système étant par conséquent hyperstatique d'ordre $3 - 2 = 1$. La condition de déformation donne la troisième équation nécessaire : le raccourcissement $\Delta\ell$ de la demi-circonférence de l'anneau de cuivre est égal à celui de l'anneau d'acier

- $\Delta\ell = \pi \Delta R = \pi R \Delta \theta \alpha_1 - \pi R \frac{\sigma_1}{E_1} = \pi R \frac{\sigma_2}{E_2}$



Chapitre 2 : Traction ou compression simple

Problème 2.4 : sertissage à chaud de bague acier-cuivre

Avec la notation $\lambda = (e_2 E_2) / (e_1 E_1)$, la résolution de ces trois équations conduit aux contraintes suivantes σ_1 dans le cuivre et σ_2 dans l'acier

- $\sigma_1 = \frac{\lambda}{1+\lambda} \Delta\theta \alpha_1 E_1 = 304 \text{ MPa}$ et $\sigma_2 = \frac{1}{1+\lambda} \Delta\theta \alpha_1 E_2 = 152 \text{ MPa}$

Liées par la relation

- $\frac{\sigma_1}{\sigma_2} = \frac{e_2}{e_1}$

ainsi qu'à la pression de contact ci-après

- $p = \sigma_1 \frac{e_1}{R} = \sigma_2 \frac{e_2}{R} = 15.2 \text{ MPa}$

Finalement, le raccourcissement relatif du rayon commun se déduit de la troisième équation

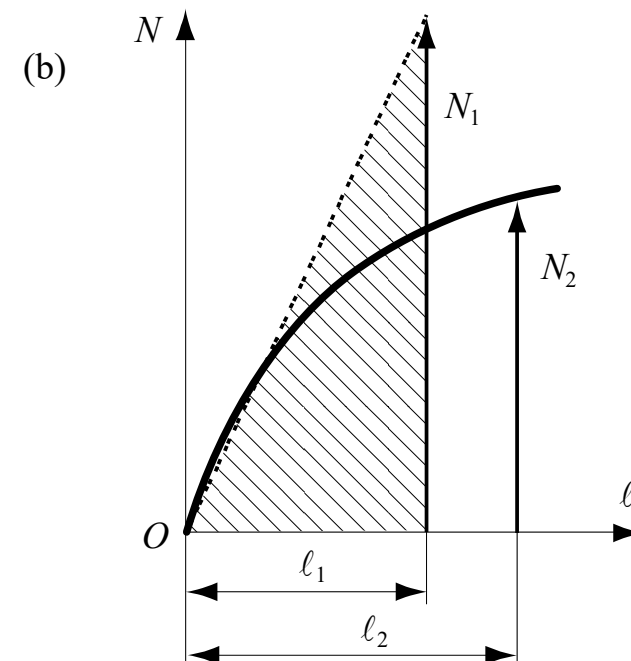
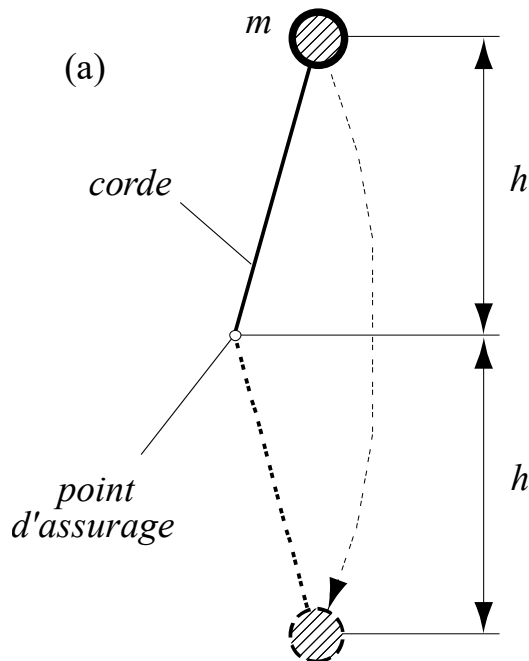
- $\varepsilon = \frac{\Delta R}{R} = \frac{\sigma_2}{E_2} = \frac{1}{1+\lambda} \Delta\theta \alpha_1 = 0.72 \text{ \%}$



Chapitre 2 : Traction ou compression simple

Problème 2.5

Calculer la force subie par un alpiniste de masse m tombant d'une hauteur $2h$ et retenu par une corde en nylon de section F .



Masse de l'alpiniste

$$m = 80 \text{ kg}$$

Section de la corde

$$F = 0,5 \text{ cm}^2 (\varnothing 8 \text{ mm})$$

Module d'élasticité du nylon

$$E = 2,8 \cdot 10^9 \text{ Pa}$$

Demi-hauteur de chute

$$h = 15 \text{ m}$$



Chapitre 2 : Traction ou compression simple

Problème 2.5

Dans sa partie initiale, le diagramme d'une corde de nylon est rectiligne. Bien que fortement tributaire du mode de tressage, le module d'élasticité de la corde est égal environ au quart de celui d'un fil unique

- $E_c \approx E / 4 = 0,7 \cdot 109 \text{ Pa}$

En supposant que le diagramme force-déplacement reste linéaire, égalons l'énergie de chute à l'énergie dans la corde (accélération terrestre $g = 9,81 \text{ m/s}^2$)

- $m g (2h) = \frac{N_1^2 h}{2E_c F}$

pour extraire la force de blocage cherchée N_1 , indépendante de la hauteur de chute,

- $N_1 = 2\sqrt{mgE_c F} = 10.5 \text{ kN}$

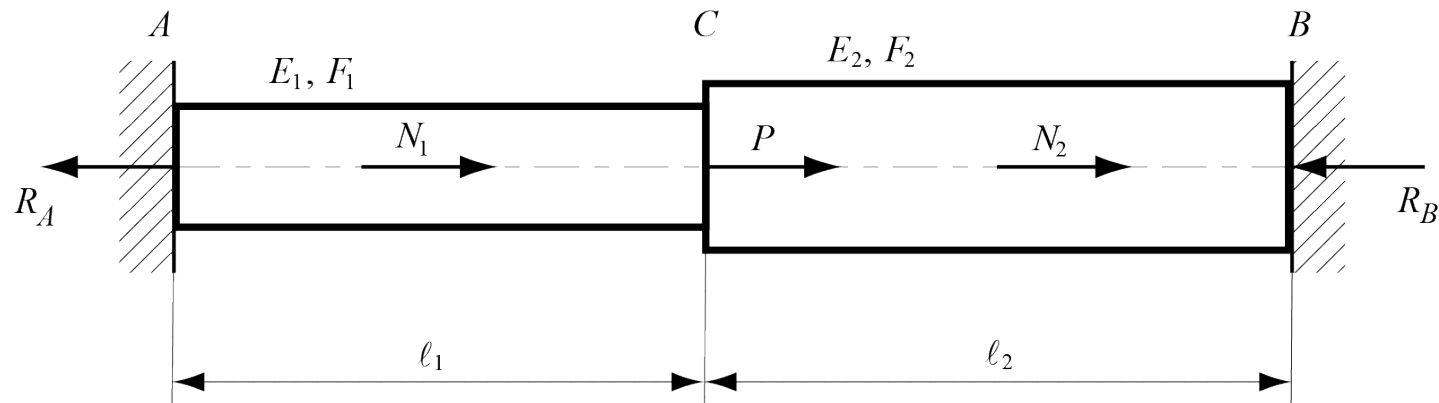
En réalité, le diagramme de la corde n'est pas rectiligne et la force maximum N_2 effectivement atteinte pour la même énergie est plus faible. Pour une corde correspondant au diagramme de la figure, cette force serait réduite dans le rapport $N_2 / N_1 \approx 0,6$ et serait donc égale à environ 6 kN.



Chapitre 2 : Traction ou compression simple

Problème 2.3

Une force P est appliquée au point C du système représenté. Calculer les efforts intérieurs N_1 et N_2 dans les barres, les réactions en A et B , ainsi que le déplacement δ_C





Chapitre 2 : Traction ou compression simple

Problème 2.3

La statique ne permet d'en calculer qu'une : dans un tel cas, le système est dit hyperstatique d'ordre $2 - 1 = 1$

Le déplacement δ_C du point C est égal à l'allongement de la barre AC et au raccourcissement de la barre CB

- $\delta_C = \frac{N_1 \ell_1}{E_1 F_1} = \frac{N_2 \ell_2}{E_2 F_2}$

D'autre part, on peut écrire la relation suivante

- $P = N_1 + N_2$

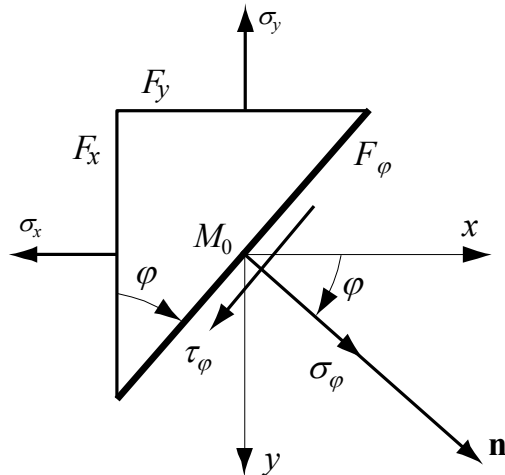
De ces deux égalités, on tire facilement, avec la notation $\ell = (E_2 F_2) / (E_1 F_1)$

- $N_1 = P \frac{\ell_2}{\lambda \ell_1 + \ell_2}$
- $N_2 = P \frac{\lambda \ell_1}{\lambda \ell_1 + \ell_2}$
- $\delta_C = P \frac{\ell_1 \ell_2}{(\lambda \ell_1 + \ell_2) E_1 F_1}$

Enfin, il est évident que $R_A = N_1$ et $R_B = N_2$

Merci pour vote attention

Mécanique des structures

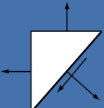


Chapitre 3 : Etat de contrainte bidimensionnel

Dr. Alain Prenleloup
SGM BA3

EPFL





Chapitre 3 : État de contrainte bidimensionnel

Exemple plaque carrée

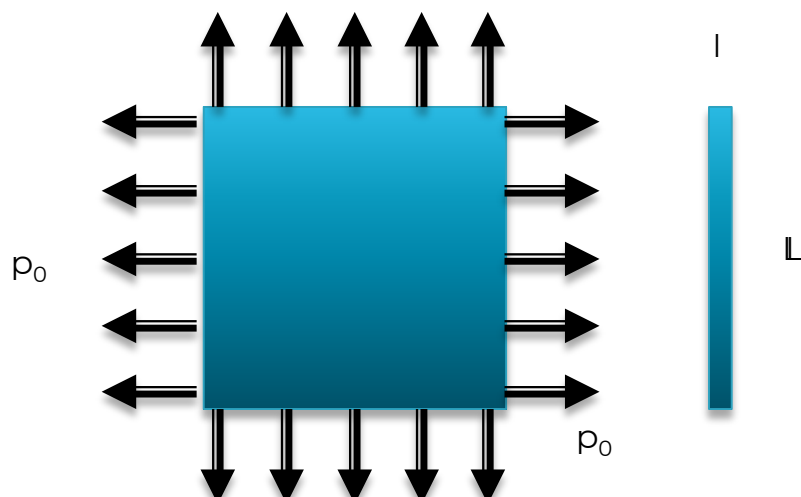
Une plaque carrée, en acier laminé à chaud, de 50 cm de côté et 2 mm d'épaisseur, subi sur son contour une charge linéique de $P_0 = 2 \times 10^5 \text{ N/m}$.

$$L = 50 \text{ cm}$$

$$l = 2 \text{ mm}$$

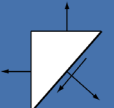
$$E = 201 \text{ GPa}$$

$$\mu = 0.27$$



Calculer :

- 1) Les contraintes σ_x et σ_y au centre de la plaque et la contrainte de cisaillement sur le plan à 45°
- 2) Les allongements relatif ε et absolu ΔL des côtés
- 3) La variation relative de volume
- 4) La densité d'énergie



Chapitre 3 : État de contrainte bidimensionnel

Exemple plaque carrée

$$1) \sigma_x = \sigma_y = \frac{N}{A} = \frac{P_0 L}{l L} = \frac{P_0}{l} = 100 \text{ MPa}$$

$$\sigma_1 = \sigma_2 = \sigma_x$$

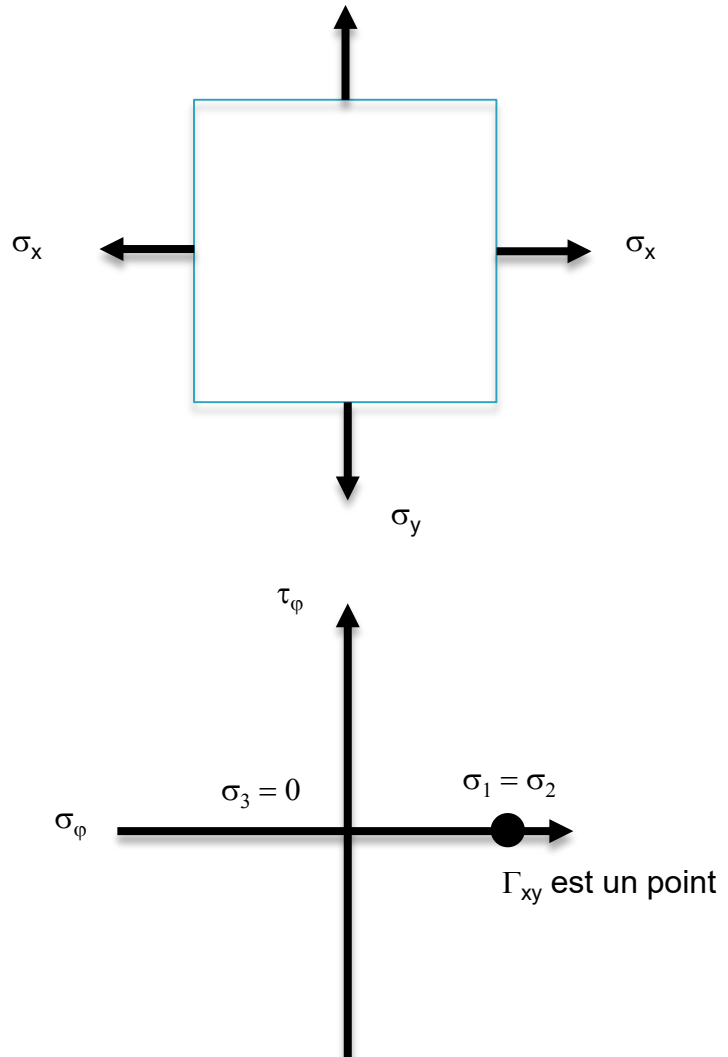
$$\tau(\varphi = 45^\circ) = -\frac{\sigma_x - \sigma_y}{2} \sin 2\varphi + \tau \cos 2\varphi = 0$$

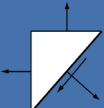
$$2) \varepsilon = \frac{1}{E} (\sigma_x - \mu \sigma_y) = 3.48 \cdot 10^{-4}$$

$$\Delta L = \varepsilon L = 0.1738 \text{ mm}$$

$$3) \nu = (1 - 2\mu) \frac{\sigma_x + \sigma_y}{E} = 4.38 \cdot 10^{-4}$$

$$4) u = \frac{1}{E} \left(\frac{\sigma_x^2}{2} + \frac{\sigma_y^2}{2} - \mu \sigma_x \sigma_y \right) = 34'761 \frac{J}{m^3}$$





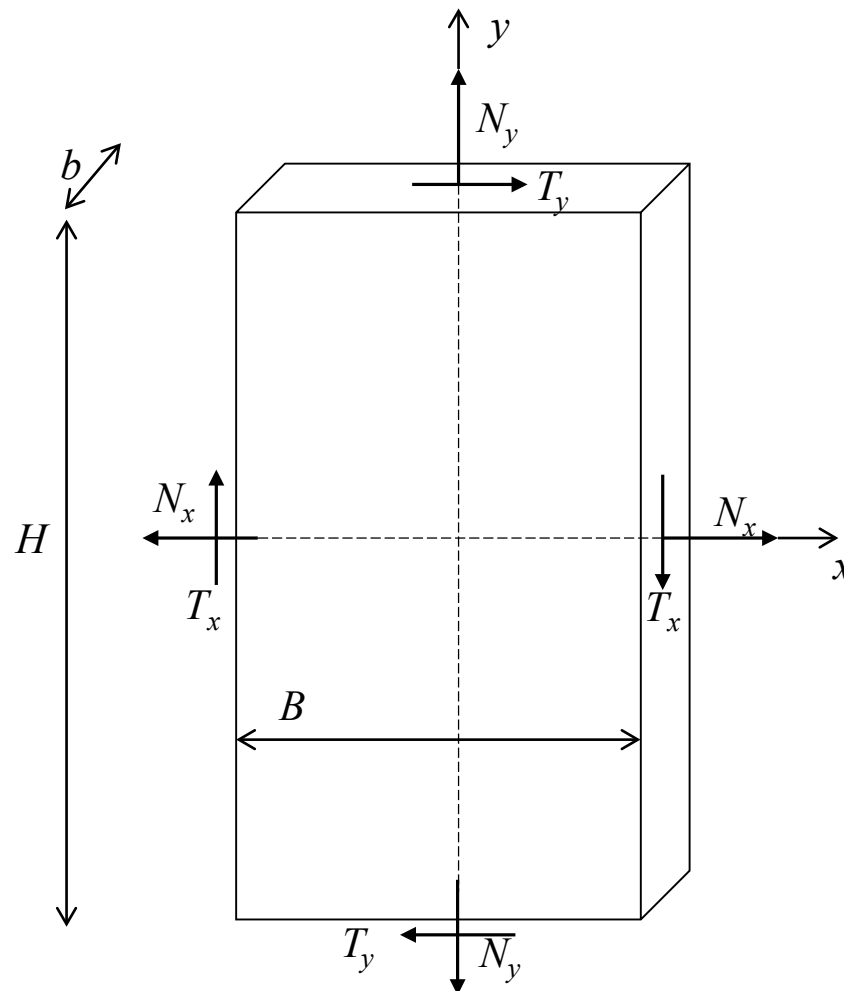
Chapitre 3 : État de contrainte bidimensionnel

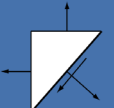
Exemple bloc soumis à des charges biaxiales

La figure montre un bloc solide soumis à un état de contraintes pour lequel on connaît les composantes normales et tangentielles. Déterminer, par le calcul et sur le cercle de Mohr, les valeurs des contraintes principales.

- $N_x = 2 \times 10^5 \text{ N}$
- $N_y = -3.6 \times 10^4 \text{ N}$
- $T_x = 9 \times 10^4 \text{ N}$

- $B = 6 \text{ cm}$
- $b = 1 \text{ cm}$
- $H = 10 \text{ cm}$



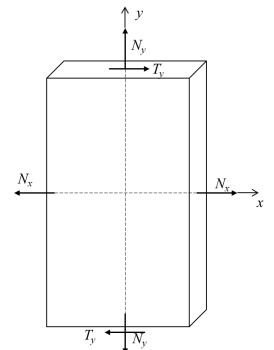


Chapitre 3 : État de contrainte bidimensionnel

Exemple bloc soumis à des charges biaxiales

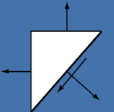
Contraintes normales

- $\sigma_x = \frac{N_x}{b H} = \frac{200000}{10 \times 100} = 200 \text{ MPa}$
- $\sigma_y = \frac{N_y}{B b} = \frac{36000}{60 \times 10} = -60 \text{ MPa}$



Contraintes tangentielles

- $\tau_x = \frac{T_x}{b H} = \frac{90000}{10 \times 100} = 90 \text{ MPa}$
- $\tau_y = -\tau_x$
- $T_y = \tau_y B b = 54 \text{ kN}$

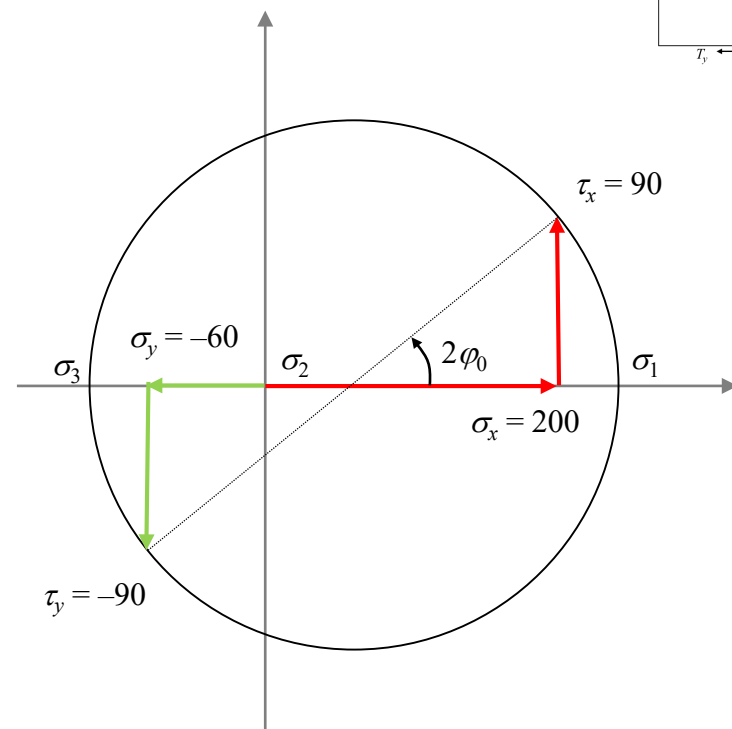
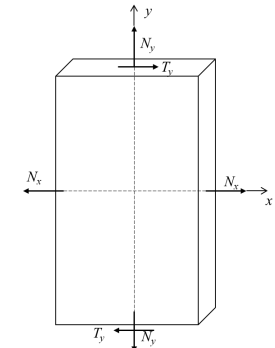


Chapitre 3 : État de contrainte bidimensionnel

Exemple bloc soumis à des charges biaxiales

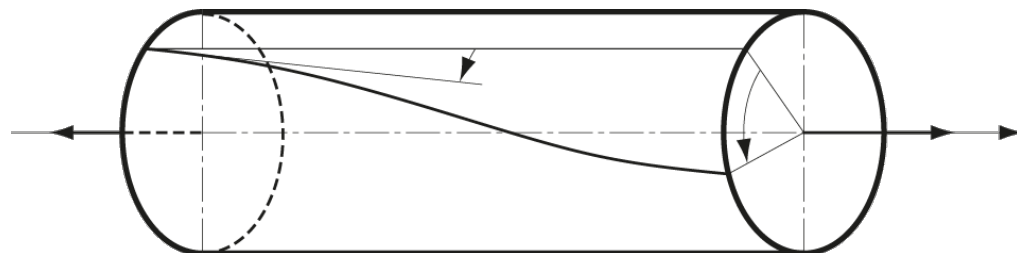
Cercle Mohr

- $R = \sqrt{\left(\frac{\sigma_x - \sigma_y}{2}\right)^2 + \tau_x^2} = 158 \text{ MPa}$
- $\sigma_1 = \frac{\sigma_x + \sigma_y}{2} + R = 228 \text{ MPa}$
- $\sigma_2 = 0 \text{ MPa}$
- $\sigma_3 = \frac{\sigma_x + \sigma_y}{2} - R = -88 \text{ MPa}$
- $\varphi_0 = \frac{1}{2} \tan^{-1} \left(\frac{2\tau_x}{\sigma_x - \sigma_y} \right) = 24^\circ$



Merci pour vote attention

Mécanique des structures



Chapitre 5 : Torsion simple

Dr. Alain Prenleloup
SGM BA3

EPFL



Chapitre 5 : Torsion simple

Problème 5.1

En choisissant une contrainte de cisaillement admissible τ_{adm} de 50 MPa, calculer le diamètre – supposé uniforme – d'un arbre de turbine à gaz transmettant une puissance de 25 MW à 8000 t/min



Chapitre 5 : Torsion simple

Problème 5.1

Le moment de torsion M_t est lié à la puissance P par l'inverse de la vitesse de rotation ω

- $M_t = P/\omega = \frac{25 \cdot 10^6 \cdot 60}{2\pi 8000} = 29.8 \cdot 10^{-3} \text{ Nm}$

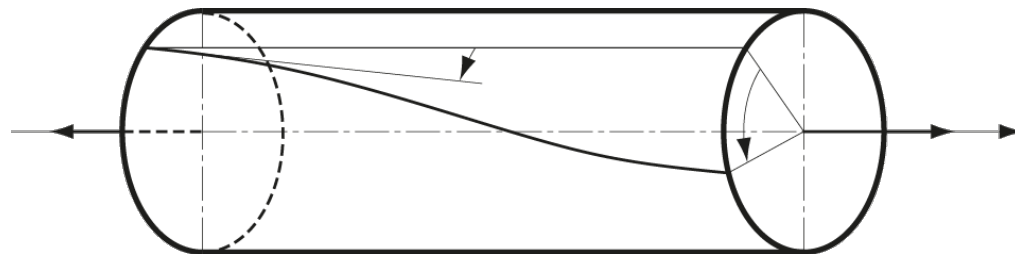
La contrainte tangentielle admissible τ_{adm} est égale à la contrainte maximale τ_{max}

- $\tau_{\text{adm}} = \tau_{\text{max}} = \frac{M_t}{W_p} = \frac{16M_t}{\pi D^3}$

de sorte que le diamètre cherché D vaut

- $D = \sqrt[3]{\frac{16M_t}{\pi\tau_{\text{adm}}}} = 14.5 \text{ cm}$

Mécanique des structures



Chapitre 5 : Torsion simple

Dr. Alain Prenleloup
SGM BA3

EPFL

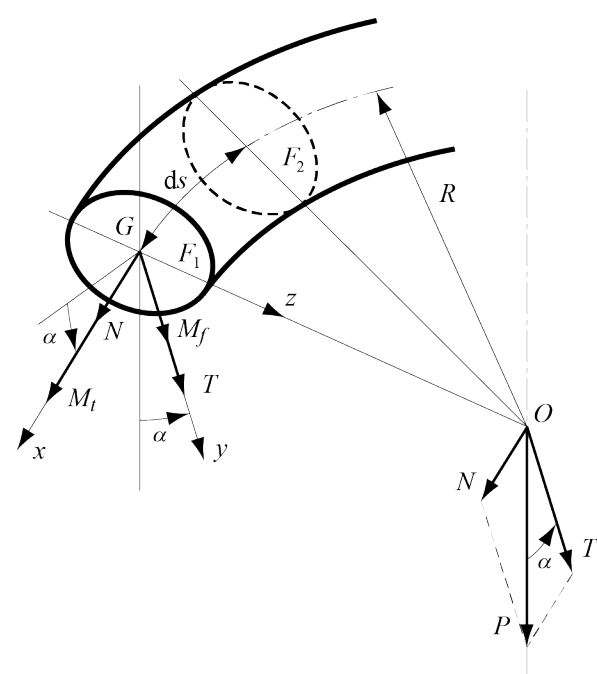
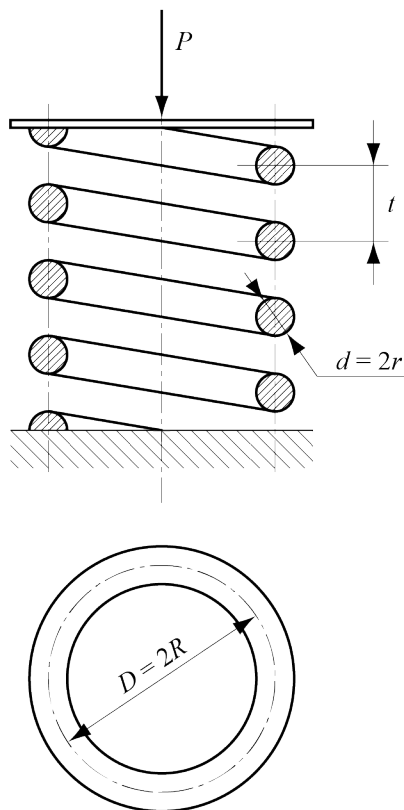




Chapitre 5 : Torsion simple

Problème 5.2

Calculer la contrainte de cisaillement maximum dans un ressort hélicoïdal de diamètre D , formé de n spires de diamètre d et soumis à une charge de compression P . Déterminer ensuite la flèche, la constante du ressort et l'énergie emmagasinée.





Chapitre 5 : Torsion simple

Problème 5.2

La fibre moyenne du ressort est une hélice d'angle α en fonction du pas t d'une spire

$$\bullet \quad a \approx \tan \alpha = \frac{t}{2\pi R}$$

Par le centre de gravité G d'une section normale du ressort, construisons les axes orthogonaux G_x , G_y et G_z ainsi définis :

- G_z est horizontal et coupe l'axe du ressort au point O
 - G_x est tangent à la fibre moyenne et forme l'angle α avec l'horizontale
 - G_y complète le trièdre droit avec G_x et G_z et forme l'angle α avec la verticale

Au point O , décomposons la force P selon les directions des axes G_x et G_y (la composante selon l'axe G_z est nulle)

- $N = P \sin \alpha$ selon G_x
 - $T = P \cos \alpha$ selon G_y

où les grandeurs N et T sont les efforts intérieurs normal et tranchant au point G



Chapitre 5 : Torsion simple

Problème 5.2

Les deux autres efforts intérieurs sont les moments de torsion M_t et de flexion M_f

- $M_t = R T = P R \cos \alpha$ selon G_x
- $M_f = R N = P R \sin \alpha$ selon G_y

L'influence du moment de torsion est prédominante, de sorte que les autres efforts intérieurs sont négligés dans l'analyse. Il s'ensuit que la contrainte maximale de cisaillement peut s'écrire

- $\tau_{max} = \frac{M_t}{W_p} = \frac{16M_t}{\pi d^3} = \frac{16P R \cos \alpha}{\pi d^3} \approx \frac{16P R}{\pi d^3} = \frac{8P D}{\pi d^3}$

Deux sections F_1 et F_2 distantes de ds tournent relativement l'une à l'autre d'un angle $d\varphi$ qui entraîne une flèche $df = R d\varphi$. En adaptant l'expression pour prendre en compte l'abscisse curviligne, on obtient

- $df = R \frac{M_t ds}{G I_p} = R \frac{P R \cos \alpha ds}{G I_p} \approx \frac{P R^2 ds}{G I_p} = \frac{P D^2 ds}{4 G} \frac{32}{\pi d^4} = \frac{8 P D^2 ds}{\pi d^4 G}$



Chapitre 5 : Torsion simple

Problème 5.2

Pour obtenir la flèche totale, il suffit d'intégrer sur la longueur totale du ressort égale à $n \pi D / \cos \alpha \approx n \pi D$ et l'on trouve donc

- $f = \frac{8nPD^3}{Gd^4}$

La rigidité ou constante k du ressort est le facteur de proportionnalité entre la charge et la flèche totale et peut être explicitée sous la forme

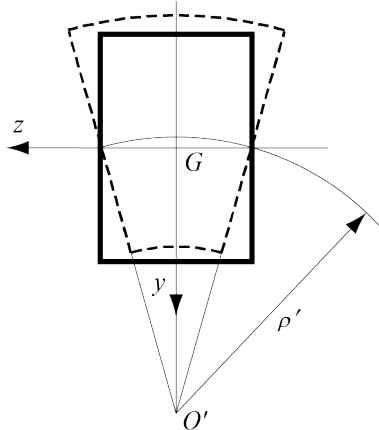
- $k = \frac{P}{f} = f = \frac{Gd^4}{8nD^3}$

de sorte que l'énergie U emmagasinée dans le ressort a pour valeur

- $U = \frac{Pf}{2} = \frac{P^2}{2k} = \frac{4nP^2D^3}{Gd^4}$

Merci pour vote attention

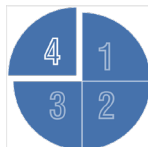
Mécanique des structures



Chapitre 6 : Flexion des poutres droites

Dr. Alain Prenleloup
SGM BA3

EPFL

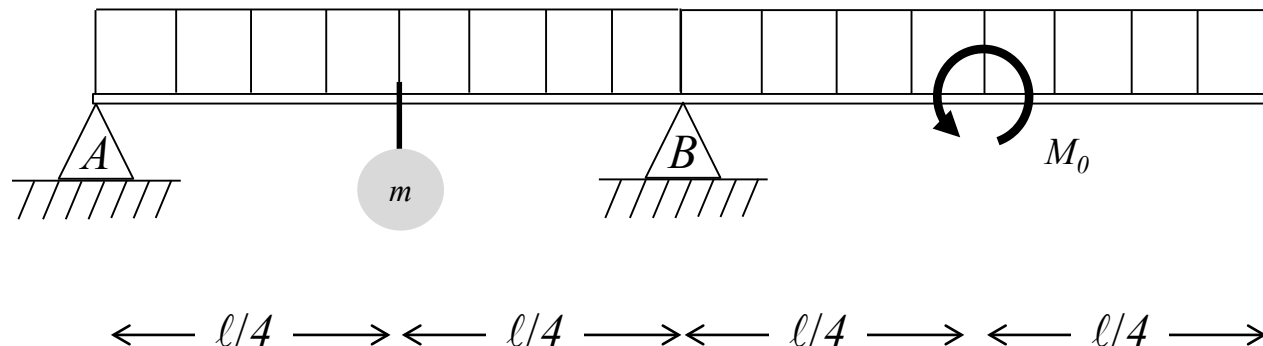




Chapitre 6 : Flexion des poutres droites

Problème 6.0

Dessiner les diagramme des effort intérieur





Chapitre 6 : Flexion des poutres droites

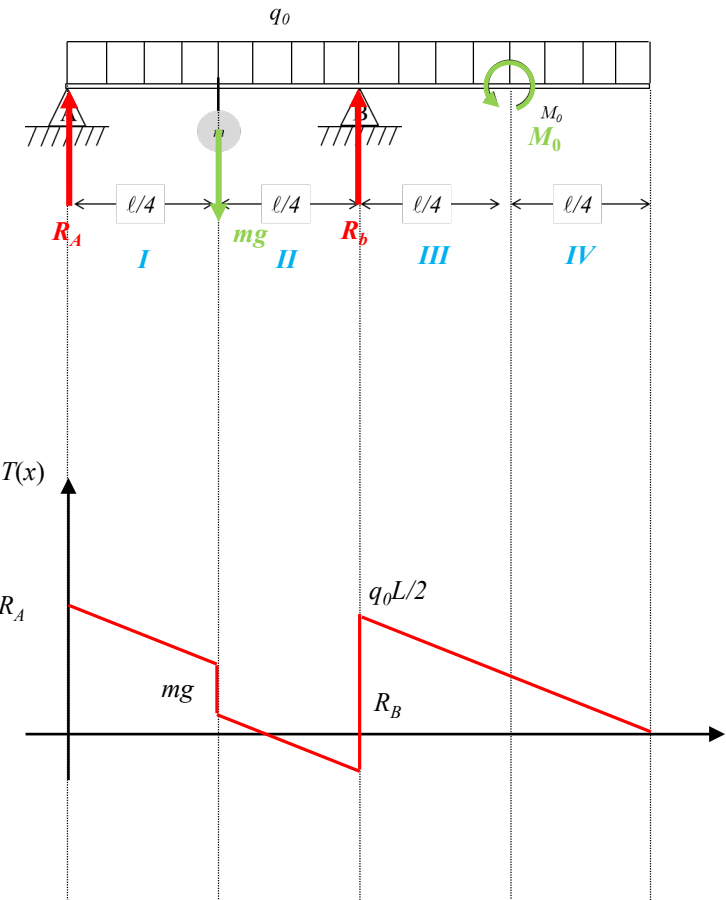
Problème 6.0

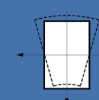
Schéma et équations d'équilibre

- ΣM_A $mg \frac{\ell}{4} + M_0 = R_A \frac{\ell}{4}$
 $\rightarrow R_A = \frac{mg}{2} + \frac{2M_0}{\ell}$
- ΣF $R_A + R_B = mg + q_0 \ell$
 $\rightarrow R_B = \frac{mg}{2} + q_0 \ell - \frac{2M_0}{\ell}$

Efforts tranchants

- I $T(x) = R_A - q_0 x$
- II $T(x) = R_A - mg - q_0 x$
- III $T(x) = R_A - mg + R_B - q_0 x$
- IV $T(x) = R_A - mg + R_B - q_0 x$



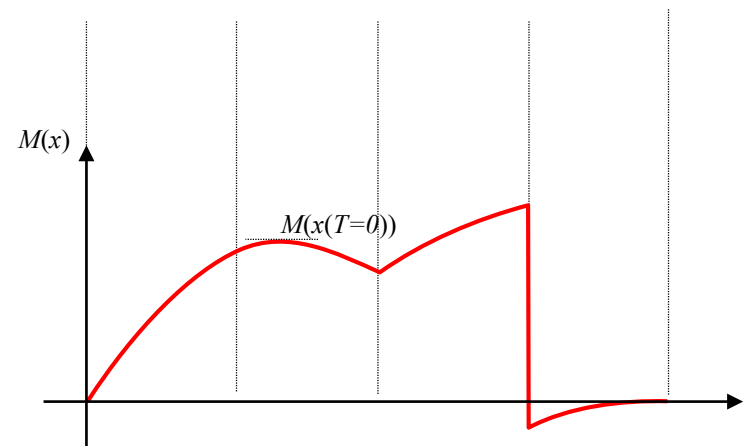
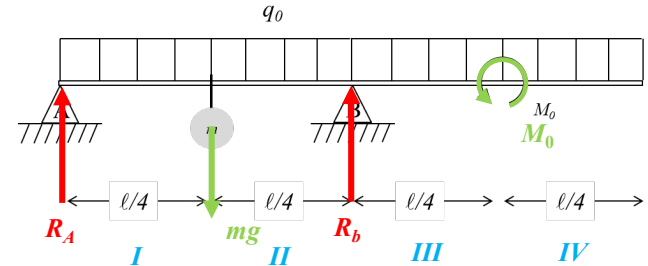


Chapitre 6 : Flexion des poutres droites

Problème 6.0

Moments de flexion

- I $M(x) = R_A x - \frac{1}{2} q_0 x^2$
- II $M(x) = R_A x - mg \left(x - \frac{\ell}{4} \right) - \frac{1}{2} q_0 x^2$
- III $M(x) = R_A x - mg \left(x - \frac{\ell}{4} \right) + R_B \left(x - \frac{\ell}{2} \right) - \frac{1}{2} q_0 x^2$
- IV $M(x) = R_A x - mg \left(x - \frac{\ell}{4} \right) + R_B \left(x - \frac{\ell}{2} \right) - M_0 - \frac{1}{2} q_0 x^2$



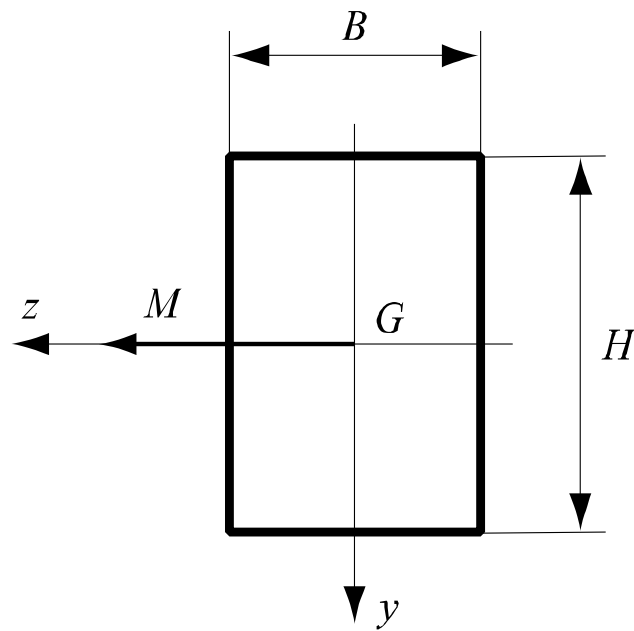


Chapitre 6 : Flexion des poutres droites

Problème 6.1 et 6.2

Problème 6.1 : Calculer les contraintes maximale et minimale dans la section d'une poutre rectangulaire de hauteur $H = 6 \text{ cm}$ et de largeur $B = 4 \text{ cm}$ en acier soumise à un moment de flexion $M = 5000 \text{ Nm}$. Déterminer ensuite le rayon de courbure r .

Problème 6.2 : Calculer les contraintes tangentielles t dans une section rectangulaire de hauteur H et de largeur B d'une poutre soumise à la flexion simple.





Chapitre 6 : Flexion des poutres droites

Problème 6.1

Le moment d'inertie de la section par rapport à l'axe G_z , ainsi que les moments correspondants de résistance à la flexion, valent

- $I = \iint_F y^2 dF = 2B \int_0^{H/2} y^2 dy = \frac{BH^3}{12} = 0,72 \cdot 10-6 \text{ m}^4$
- $W_1 = W_2 = \frac{I}{H/2} = 24 \cdot 10-6 \text{ m}^3$

Les contraintes normales σ_{\max} et σ_{\min} ont ainsi pour valeur

- $\sigma_{\max} = \frac{M}{W_1} = 208 \text{ MPa}$
- $\sigma_{\min} = \frac{-M}{W_2} = -208 \text{ MPa}$

Le rayon de courbure r est quant à lui obtenu

- $\rho = \frac{EI}{M} = 30,2 \text{ m}$



Chapitre 6 : Flexion des poutres droites

Problème 6.2

Le moment statique de la section partielle se calcule immédiatement sans expliciter l'intégrale

- $S' = B \left(\frac{H}{2} - y \right) \cdot \frac{1}{2} \left(\frac{H}{2} + y \right) = \frac{BH^2}{8} \left[1 - \left(\frac{y}{H/2} \right)^2 \right]$

Comme le moment d'inertie I de la section et la largeur b à l'abscisse y valent

- $I = \frac{BH^3}{12}$
- $b = B$

Les contraintes tangentielles τ s'écrivent

- $\tau = \frac{3}{2} \tau_{moy} \left[1 - \left(\frac{y}{H/2} \right)^2 \right]$

où τ_{moy} représente la contrainte tangentielle moyenne dans la section, définie par le rapport suivant

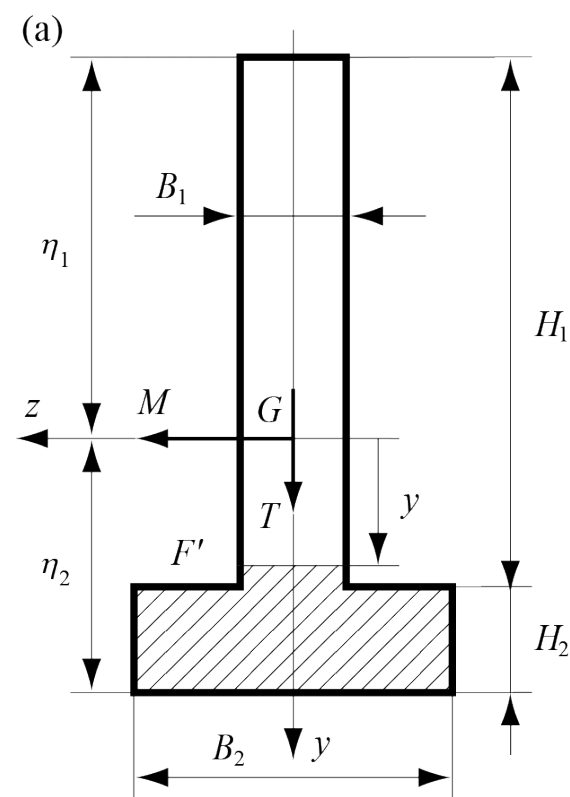
- $\tau_{moy} = \frac{T}{B H}$



Chapitre 6 : Flexion des poutres droites

Problème 6.3

Evaluer les contraintes normales σ et tangentielle τ dans la section en forme de T inversé d'une poutre droite soumise à un moment de flexion M et à un effort transversal T





Chapitre 6 : Flexion des poutres droites

Problème 6.3

Calculons d'abord l'aire F de la section, les distances h_1 et h_2 du centre d'inertie G de la section aux fibres extrêmes et le moment d'inertie $I_z = I$ de la section.

En considérant la section totale comme l'assemblage de l'âme de hauteur H_1 et de largeur B_1 et de la semelle de hauteur H_2 et de largeur B_2

- $F = H_1 B_1 + H_2 B_2$
- $\eta_1 = \frac{H_1 B_1 (H_1/2) + H_2 B_2 (H_1 + H_2/2)}{F}$
- $\eta_2 = H_1 + H_2 - \eta_1$
- $I = \frac{B_2 H_2^3}{3} + \frac{B_1 H_1^3}{12} + H_1 B_1 \left(\frac{H_1}{2} + H_2 \right) - \eta_2^2 F$

Dès lors que les grandeurs qui apparaissent dans l'équation de la contrainte normale sont globales, les contraintes normales demeurent continues sur la hauteur de la section malgré le changement brusque de largeur. Leur distribution est linéaire et a pour expression

- $\sigma(y) = \frac{M}{I} y$



Chapitre 6 : Flexion des poutres droites

Problème 6.3

Les valeurs maximales de contraintes normales sont atteintes sur les fibres extrêmes inférieure (traction) et supérieure (compression)

$$\bullet \quad \sigma_{max} = \frac{M}{I} \eta_2 \quad \sigma_{min} = \frac{-M}{I} \eta_1$$

Les moments statiques S_1' et S_2' de la section partielle F' pour respectivement l'âme et la semelle s'écrivent

$$\begin{aligned} \bullet \quad S_1' &= B_1(\eta_1 + y) \cdot (\eta_1 - y)/2 & -\eta_1 \leq y \leq \eta_2 - H_1 \\ \bullet \quad S_2' &= B_2(\eta_2 - y) \cdot (\eta_2 + y)/2 & \eta_2 - H_2 \leq y \leq \eta_2 \end{aligned}$$

La largeur b à l'abscisse y valant B_1 dans l'âme et B_2 dans la semelle, les contraintes tangentielles sont, après transformations mathématiques, données par

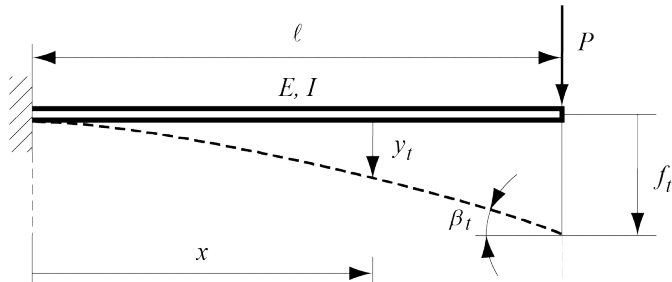
$$\begin{aligned} \bullet \quad \tau(y) &= \frac{T\eta_1^2}{2I} [1 - (y/\eta_1)^2] & -\eta_1 \leq y \leq \eta_2 - H_1 \\ \bullet \quad \tau(y) &= \frac{T\eta_2^2}{2I} [1 - (y/\eta_2)^2] & \eta_2 - H_2 \leq y \leq \eta_2 \end{aligned}$$

et leur amplitude maximale surgit sur l'axe neutre

$$\bullet \quad \tau_{max} = \tau(0) = T\eta_1^2/(2I)$$

Merci pour vote attention

Mécanique des structures



Chapitre 7 : Déformée des poutres droites

Dr. Alain Prenleloup
SGM BA3

EPFL



Chapitre 7 : Déformée des poutres droites

Problème 7.1

Chercher la déformée d'une poutre en console de section rectangulaire supportant une force ponctuelle en son extrémité libre

Données numériques

$$P = 30 \text{ kN}$$

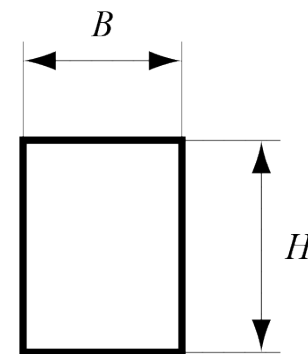
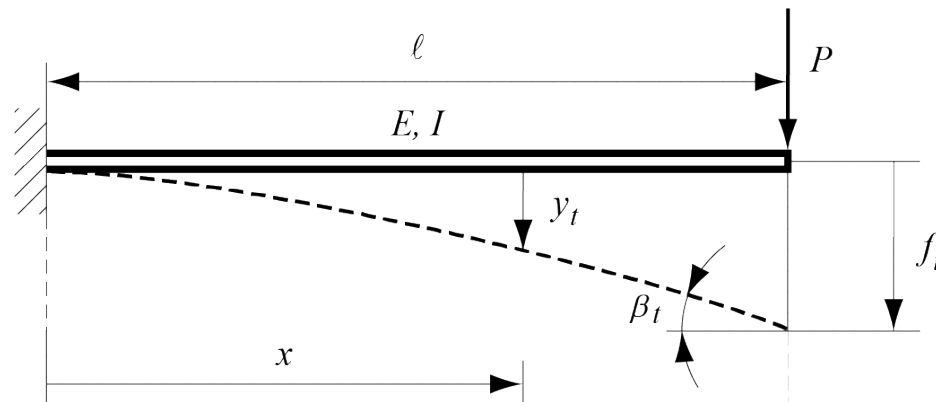
$$\ell = 1 \text{ m}$$

$$H = 10 \text{ cm}$$

$$B = 5 \text{ cm}$$

$$E = 2,1 \cdot 10^{11} \text{ Pa}$$

$$G = 0,8 \cdot 10^{11} \text{ Pa}$$





Déformée due au moment :

Le moment de flexion M provoqué par la force P est donné par

- $M(x) = -P(\ell - x)$

L'équation différentielle du second ordre avec le moment devient

- $E I y'' = P(\ell - x)$

En intégrant successivement cette équation, on obtient

- $E I y' = P\ell x - P \frac{x^2}{2} + C_1$
- $E I y = P\ell \frac{x^2}{2} - P \frac{x^3}{6} + C_1 x + C_2$

où C_1 et C_2 constituent les constantes d'intégration, déterminées par les conditions aux limites du problème

- $y'(x = 0) = 0 = C_1$
- $y(x = 0) = 0 = C_2$



Chapitre 7 : Déformée des poutres droites

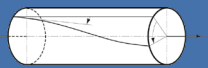
Problème 7.1

L'équation de la déformée due au moment et celle de sa dérivée s'écrivent ainsi

- $y = \frac{P}{6EI} x^2 (3\ell - x)$
- $y' = \frac{P}{2EI} x (2\ell - x)$

La flèche f et la rotation β maximales apparaissent sous la charge en $x = \ell$

- $f = \frac{P\ell^3}{3EI}$
- $\beta \approx \operatorname{tg} \beta = \frac{P\ell^2}{2EI}$



Déformée due à l'effort tranchant

Comme l'effort tranchant T est constant et vaut

- $T(x) = P$

l'équation différentielle du premier ordre a pour expression

- $y'_T = \eta \frac{P}{G F}$

dont l'intégration triviale donne

- $y_T = \eta \frac{P}{G F} x + C_1$

L'unique constante d'intégration C_1 est à nouveau calculée grâce à la condition de bord en déplacement

- $y_T(x = 0) = 0 = C_1$

L'équation de la déformée due à l'effort tranchant a dès lors pour expression

- $y_T = \eta \frac{P}{G F} x$



Chapitre 7 : Déformée des poutres droites

Problème 7.1

La flèche maximum f_T due à l'effort tranchant apparaît également sous la charge, mais la rotation β_T est indépendante de la variable x

- $f_T = \eta \frac{P \ell}{G F}$
- $\beta_T = \eta \frac{P}{G F}$

On relèvera que l'effort tranchant provoque, même à l'encastrement, une rotation constante lorsque la charge est concentrée.



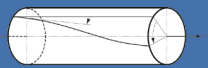
Déformée totale

La déformée totale y_t et sa dérivée sont obtenues par sommation des déformées partielles y et y_T et de leurs dérivées

- $y_t = y + y_T = \frac{P}{6EI}x^2(3\ell - x) + \eta \frac{P}{GF}x$
- $y'_t = y' + y'_T = \frac{P}{2EI}x(2\ell - x) + \eta \frac{P}{GF}$

De manière analogue, la flèche totale f_t et la rotation totale β_t sont trouvées par addition des contributions partielles

- $f_t = f + f_T = \frac{P\ell^3}{3EI} + \eta \frac{P\ell}{GF}$
- $\beta_t = \beta + \beta_T = \frac{P\ell^2}{2EI} + \eta \frac{P}{GF}$



Application numérique

En portant les données numériques fournies dans les relations calculées précédemment, on obtient, compte tenu du coefficient de forme $h = 1,2$ de même que de l'aire $F = B H = 50 \text{ cm}^2$ et de l'inertie $I = B H_3 / 12 = 417 \text{ cm}^4$ de la section,

- $f = 11,4 \text{ mm}$
- $f_T = 0,09 \text{ mm}$
- $\beta = 0,017 \text{ rad} = 0,98^\circ$
- $\beta_T = 0,09 \cdot 10^{-3} \text{ rad} = 0,005^\circ$

Il est à noter que les rapports des flèches et des rotations sont très faibles

- $f_T/f = 8 \%$
- $\beta_T/\beta = 5 \%$

L'influence de l'effort tranchant T est négligeable en comparaison de celle du moment de flexion M



Chapitre 7 : Déformée des poutres droites

Problème 7.2

Chercher la déformée d'une poutre sur deux appuis simples de section rectangulaire supportant une charge uniformément répartie.

Données numériques

$$p = 200 \text{ kN/m}$$

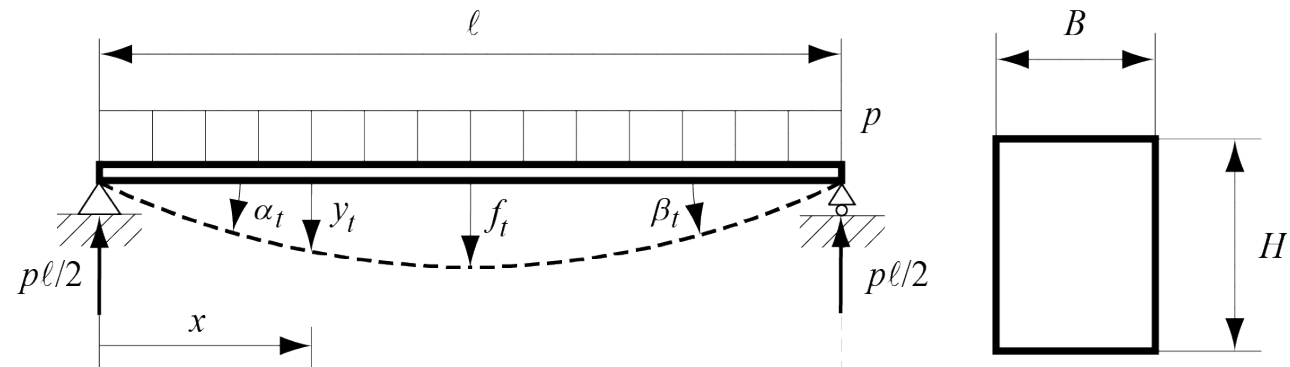
$$\ell = 1 \text{ m}$$

$$H = 10 \text{ cm}$$

$$B = 5 \text{ cm}$$

$$E = 2,1 \cdot 10^{11} \text{ Pa}$$

$$G = 0,8 \cdot 10^{11} \text{ Pa}$$





Chapitre 7 : Déformée des poutres droites

Problème 7.2

Déformée due au moment et à l'effort tranchant

Compte tenu de la charge répartie $p(x) = p$, le moment de flexion M s'écrit

- $M(x) = \frac{p}{2}\ell x - p\frac{x^2}{2}$

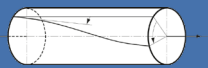
Comme la charge appliquée est continue, il est possible d'utiliser directement l'équation différentielle combinant les effets dus au moment de flexion et à l'effort tranchant

- $y_t'' = -\frac{M}{EI} - \eta \frac{p}{GF} = \frac{p}{2EI} (x^2 - \ell x) - \eta \frac{p}{GF}$

L'intégration successive de cette équation donne

- $y_t' = \frac{p}{2EI} \left(\frac{x^3}{3} - \frac{\ell x^2}{2} \right) - \eta \frac{p}{GF} x + C_1$

- $y_t = \frac{p}{2EI} \left(\frac{x^4}{12} - \frac{\ell x^3}{6} \right) - \eta \frac{p}{GF} \frac{x^2}{2} + C_1 x + C_2$



Chapitre 7 : Déformée des poutres droites

Problème 7.2

Les constantes d'intégration C_1 et C_2 sont évaluées à partir des conditions aux limites du problème

- $y_t(x = 0) = 0 = C_2$
- $y_t(x = \ell) = 0 = \frac{p}{EI} \frac{\ell^4}{24} - \eta \frac{p}{GF} \frac{\ell^2}{2} + C_1 \ell$

Les équations de la déformée et de sa dérivée ont pour expression

- $y_t = \frac{p}{24EI} (\ell^3 x - 2\ell x^3 + x^4) + \eta \frac{p}{2GF} (\ell x - x^2)$
- $y'_t = \frac{p}{24EI} (\ell^3 - 6\ell x^2 + 4x^3) + \eta \frac{p}{2GF} (\ell - 2x)$

Par symétrie, la flèche maximum f_t apparaît au milieu de la poutre en $x = \ell/2$

- $f_t = y_t(x = \ell/2) = \frac{5}{384} \frac{p\ell^4}{EI} + \eta \frac{p\ell^2}{8GF} = f + f_T$

tandis que la rotation maximale surgit sous les appuis en $x = 0$ et $x = \ell$

- $\alpha_t = |\beta_t| = \frac{p\ell^3}{24EI} + \eta \frac{p\ell}{2GF} = \alpha + \alpha_T$



Application numérique

Les données numériques fournies conduisent, compte tenu du coefficient de forme $h = 1,2$ et en vertu de l'aire $F = B H = 50 \text{ cm}^2$ et de l'inertie $I = B H_3 / 12 = 417 \text{ cm}^4$ de la section, aux flèches f et f_T et rotations α et α_T , dues respectivement au moment de flexion M et à l'effort tranchant T ,

- $f = 3,0 \text{ mm}$
- $f_T = 0,075 \text{ mm}$
- $\alpha = 0,0095 \text{ rad} = 0,55^\circ$
- $\alpha_T = 0,3 \cdot 10^{-3} \text{ rad} = 0,017^\circ$

On relèvera que les rapports des flèches et des rotations sont à nouveau très faibles

- $f_T/f = 2,5 \%$
- $\beta_T/\beta = 3,2 \%$



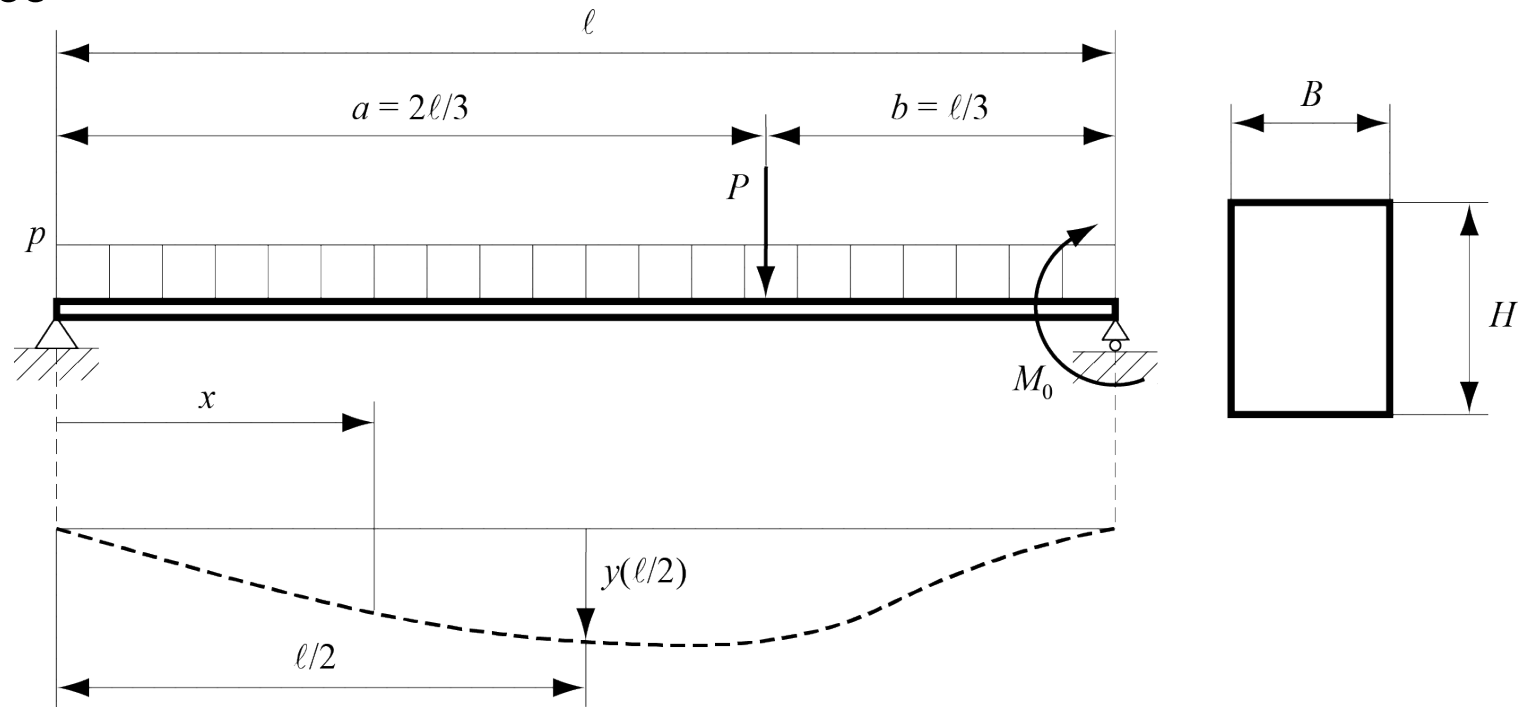
Chapitre 7 : Déformée des poutres droites

Problème 7.3

En appliquant le principe de superposition et en ne considérant que l'influence du moment de flexion, calculer la flèche au centre d'une poutre de section rectangulaire soumise au cas de charge suivant :

Données numériques

$$\begin{aligned}P &= 40 \text{ kN} \\P &= 100 \text{ kN/m} \\M_0 &= 12 \text{ kNm} \\\ell &= 1 \text{ m} \\H &= 10 \text{ cm} \\B &= 5 \text{ cm} \\E &= 2,1 \cdot 10^{11} \text{ Pa}\end{aligned}$$





Chapitre 7 : Déformée des poutres droites

Problème 7.3

Conformément à l'annexe II, la déformée y_1 due à une charge concentrée P a pour expression

- $y_1 = \frac{P}{6\ell EI} (2ab^2x + a^2bx - bx^3)$

La prise en compte de la position de la charge ($a = 2\ell/3$, $b = \ell/3$) permet de récrire cette égalité sous la forme

- $y_1 = \frac{P}{18EI} \left(\frac{8}{9} \ell^2 x - x^3 \right)$

La charge répartie p entraîne la déformée y_2 suivante, aussi donnée par l'annexe II,

- $y_2 = \frac{p}{24EI} (x^4 - 2\ell x^3 + \ell^3 x)$

Tandis que la déformée y_3 provoquée par le moment appliqué M_0 se déduit du résultat donné dans la même annexe après remplacement de la variable x par la quantité $\ell - x$ et inversion du signe de M_0

- $y_3 = \frac{-M_0}{6\ell EI} (\ell^2 x - x^3)$



Chapitre 7 : Déformée des poutres droites

Problème 7.3

En vertu du principe de superposition, la flèche au centre de la poutre a pour valeur

- $f = y(\ell/2) = y_1(\ell/2) + y_2(\ell/2) + y_3(\ell/2)$

$$= \frac{23}{1296} \frac{P\ell^3}{EI} + \frac{5}{384} \frac{p\ell^4}{EI} - \frac{1}{16} \frac{M_0\ell^2}{EI}$$

Application numérique

Les données numériques fournies conduisent, d'après l'aire $F = B H = 50 \text{ cm}^2$ et l'inertie $I = B H_3 / 12 = 417 \text{ cm}^4$ de la section, à la flèche totale suivante

- $f = 0,81 \text{ mm} + 1,49 \text{ mm} - 0,86 \text{ mm} = 1,44 \text{ mm}$



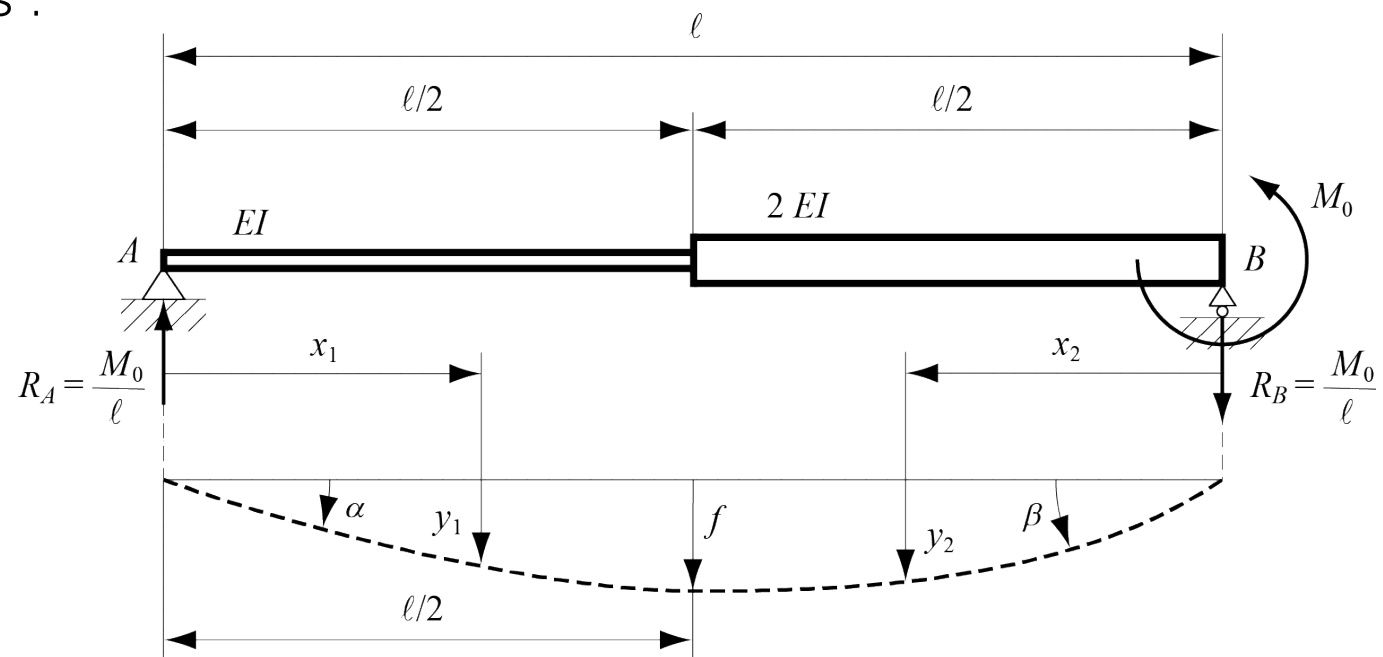
Chapitre 7 : Déformée des poutres droites

Problème 7.4

En négligeant l'influence de l'effort tranchant, calculer la flèche au centre de la poutre à section variable, ainsi que les rotations aux extrémités.

Données numériques :

$$\begin{aligned} E &= 210 \text{ GPa} \\ I &= 250 \text{ cm}^4 \\ M_0 &= 20 \text{ kNm} \\ \ell &= 1 \text{ m} \end{aligned}$$





Chapitre 7 : Déformée des poutres droites

Problème 7.4

Comme la structure présente deux tronçons à section constante, séparons la déformée de la poutre en deux fonctions y_1 et y_2 devant satisfaire des conditions de compatibilité au point de discontinuité de la section.

Le moment de flexion M_1 relatif à la première moitié de la poutre ($0 < x_1 < \ell/2$)

- $M_1(x_1) = R_A x_1 = M_0 \frac{x_1}{\ell}$

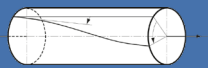
L'équation différentielle associée à la déformée y_1 prend la forme suivante

- $EIy_1'' = -M_0 \frac{x_1}{\ell}$

L'intégration successive de cette équation permet d'écrire

- $EIy_1' = -M_0 \frac{x_1^2}{2\ell} + C_1$
- $EIy_1 = -M_0 \frac{x_1^3}{6\ell} + C_1 x_1 + C_2$

où C_1 et C_2 constituent les constantes d'intégration.



Chapitre 7 : Déformée des poutres droites

Problème 7.4

De manière analogue, le moment de flexion M_2 sur le deuxième tronçon ($0 < x_2 < \ell/2$)

- $M_2(x_2) = M_0 - R_B x_2 = M_0 \left(1 - \frac{x_2}{\ell}\right)$

L'intégration de l'expression différentielles entraîne successivement

- $2EIy_2'' = -M_0 \left(1 - \frac{x_2}{\ell}\right)$
- $2EIy_2' = -M_0 \left(x_2 - \frac{x_2^2}{2\ell}\right) + D_1$
- $2EIy_2 = -M_0 \left(\frac{x_2^2}{2} - \frac{x_2^3}{6\ell}\right) + D_1 x_2 + D_2$

où D_1 et D_2 sont deux nouvelles constantes d'intégration. Ces quatre inconnues sont déterminées, d'une part, par les conditions aux limites aux extrémités de la poutre (déplacement nul au droit des appuis simples)

- $y_1(x_1 = 0) = 0 = C_2$
- $y_2(x_2 = 0) = 0 = C_2$



Chapitre 7 : Déformée des poutres droites

Problème 7.4

D'autre part, par la condition d'égalité des déformées et des pentes au point de discontinuité de la section ($x_1 = x_2 = \ell/2$)

- $y_1(x_1 = \ell/2) = \frac{-M_0\ell^2}{48EI} + C_1 \frac{\ell}{2EI} = y_2(x_2 = \ell/2) = \frac{-5M_0\ell^2}{96EI} + D_1 \frac{\ell}{4EI}$
- $y'_1(x_1 = \ell/2) = \frac{-M_0\ell}{8EI} + C_1 \frac{1}{EI} = y'_2(x_2 = \ell/2) = \frac{3M_0\ell}{16EI} - D_1 \frac{1}{2EI}$

Ce système de deux équations à deux inconnues a pour solution

- $C_1 = \frac{M_0\ell}{8}$ $D_1 = \frac{3M_0\ell}{8}$

de sorte que les deux déformées et leurs dérivées peuvent être explicitées finalement sous les formes suivantes

- $y_1(x_1) = \frac{M_0}{24\ell EI} (3\ell^2 x_1 - 4x_1^3)$ $0 < x_1 < \ell/2$
- $y'_1(x_1) = \frac{M_0}{8\ell EI} (\ell^2 - 4x_1^2)$
- $y_2(x_2) = \frac{M_0}{48\ell EI} (9\ell^2 x_2 - 12\ell x_2^2 + 4x_2^3)$ $0 < x_2 < \ell/2$
- $y'_2(x_2) = \frac{M_0}{16\ell EI} (3\ell^2 - 8\ell x_2 + 4x_2^2)$



Chapitre 7 : Déformée des poutres droites

Problème 7.4

La flèche f au centre de la poutre et les rotations α et β aux extrémités s'écrivent

- $f = y_1(\ell/2) = y_2(\ell/2) = \frac{M_0 \ell^2}{24 EI}$
- $\alpha = y'_1(0) = \frac{M_0 \ell}{8 EI}$
- $\beta = -y'_2(0) = -\frac{3 M_0 \ell}{16 EI}$

Application numérique

Avec les grandeurs numériques données, la flèche f et les rotations α et β valent

- $f = 1,6 \text{ mm}$
- $\alpha = 0,0048 \text{ rad} = 0,27^\circ$
- $\beta = -0,0071 \text{ rad} = -0,41^\circ$

Merci pour vote attention